

연삭입자크기에 따른 비연삭에너지 특성

이현구*, 이영문[†], 양승한[‡], 배대원⁺⁺, 김학균⁺⁺⁺

Characteristics of specific grinding energy depending on grain size

H.G. Lee*, Y.M. Lee[†], S.H. Yang[‡], D.W. Bae⁺⁺, H.K. Kim⁺⁺⁺

Abstract

As a new approach to analyze grinding energy, this paper introduces a specific grinding energy model based on the average grain. Using this model, grinding characteristics such as specific grinding energy of SM45C were investigated with changing variables such as grain size, workpiece velocity(v) and apparent depth of cut(Z) in down-surface grinding. From the experimental results, the specific grinding energy decreases as the maximum undeformed chip thickness increases. And also the specific grinding energy increases as the grit size increases.

Key Words : Average grain(평균입자), Specific grinding energy(비연삭에너지), Maximum undeformed chip thickness(최대미변형침두께), Down-surface grinding(하향평면연삭)

1. 서 론

연삭가공은 수많은 연삭입자에 의한 고속절삭으로 경질재료에서 연질재료까지 가공할 수 있으며, 절삭가공에 비해 상당히 작은 절입깊이를 사용하므로 형상 및 가공정도가 높고 가공품위와 표면거칠기가 양호한 가공법이다.

일반적으로 연삭가공은 제품의 표면품위를 결정하는 최종 공정으로 가공 품질을 높이기 위해서는 연삭수들, 드레싱조건, 연삭 조건등의 연삭가공 파라미터를 정량화할 수 있는 방안이 필요하다. 연삭기구에 대한 연구로는 연삭가공에서 가공품질에 영향을 미치는 중요한 인자인 수들의 기하학적 형상, 수들의 속도, 공작물 속도, 연삭깊이, 연삭유체, 드레싱 깊이 등에 관한 것이 있으며, 연삭가공 표면 상태에 대한 연구로는 평면연삭에서 가공중에 일어나

는 공작물의 열변형과 열손상들에 대한 연구가 이루어지고 있다.⁽¹⁾

연삭공정은 불균일한 연삭입자의 형태, 연삭입자의 간격 등 그 복잡성으로 인하여 연삭가공공정의 해석이 어려우며, 연삭가공특성의 일반적인 평가기준을 제시하지 못하고 있는 실정이다.

따라서 본 연구에서는 연삭가공의 고정밀화와 고능률화에 기여할 수 있는 연삭가공 방안을 정립하기 위하여 연속절삭날 간격, a 와 연삭공정의 기하학적인 관계로부터 연삭공정의 최대물림깊이(h_{max})를 결정하고, 평균입자모델의 평균미변형침두께에서 얻어지는 절삭력으로부터 정량적인 데이터를 확보하여 연삭공정의 반경방향과 접선방향의 평균힘을 구하고, 열처리 유무와 연마입자 크기에 따른 SM45C강의 비연삭에너지 특성에 대해 분석고찰하였다.

* 이현구, 경북대학교 대학원 기계공학과 (hyun958@hotmail.com)

주소: 702-701 대구시 북구 산격동 1370

+ 경북대학교 기계공학부

++ 경북 대 대학원 기계공학과

+++ 대구 달서공업고등학교

2. 평균입자연삭모델

Fig. 1(a)와 같이 실제 연삭입자는 불규칙 형상의 다면체이고, 그림에 나타낸 것과 같이 절삭점(cutting points)들이 연결되어 다수의 절삭날(cutting edges)을 형성하고 있다. 본 연구에서 평균입자연삭모델을 정의하기 위하여 연삭입자를 기하학적으로 단순화하여 연삭입자의 형상을 구형(sphere)으로 가정하고, 절삭날(cutting edge)도 구의 단면인 임의의 원호로 구성되어 있다고 가정하였다.

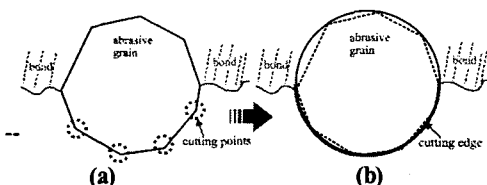


Fig. 1 Shape and cutting edge(bold line) of an abrasive grain (a) real shape (b) idealized shape.

2.1 최대미변형침두께

Fig. 2는 균일형상 · 분포 연삭숫돌에 의한 평면 하향연삭공정에서 공작물이 이송하는 것을 대신하여 연삭숫돌이 연삭작용을 하는 입자당 S_a 만큼 이송하면서 회전할 때 연삭입자의 절삭경로를 나타낸 것이다.⁽²⁾ 그림에서 연삭입자의 최대미변형침두께(maximum undeformed chip thickness), h_{\max} 는 $\overline{A'C}$ 로 표시되며 근사적으로 식 (1)과 같이 나타낼 수 있다.⁽³⁾

$$h_{\max} = 2a \frac{v}{V} \left(\frac{Z}{D} \right)^{\frac{1}{2}} \quad (1)$$

여기서, a 는 연삭숫돌의 연속절삭날간격(successive cutting point spacing)이며, v 는 공작물속도, V 는 연삭숫돌의 원주속도, Z 는 연삭깊이, 그리고 D 는 연삭숫돌의 직경을 나타낸다.

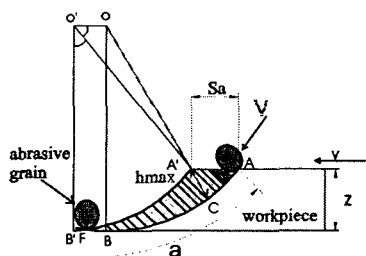


Fig. 2 Cutting path in down-surface grinding process.

2.2 평균입자모델에 의한 평균미변형침두께, h_{av} 및 평균연삭단면적, A_a

본 연구에서는 연삭특성 평가를 위해 평균입자모델에 의한 평균미변형침두께(h_{av})를 설정하였다. 실제 연삭입자들은 불규칙한 다면체를 나타내고 있지만, 구(sphere)의 형상으로 가정하였다.

Fig. 3은 구형 연삭 입자에 의한 평면하향연삭 가공공정을 나타낸 것이다.

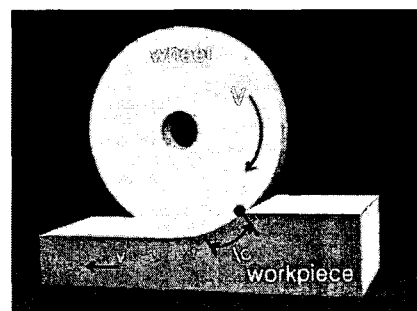


Fig. 3 Schematic of down-surface grinding.

Fig. 4(a)는 하나의 연삭입자가 연삭작용을 하는 경우 연삭진행방향의 미변형침을 밑변이 직선인 등각의 면적으로 나타낸 것이고, Fig. 4(b)은 연삭진행방향에서 직각방향으로의 실연삭 평균연삭단면적(A_a)을 나타낸 것이다.

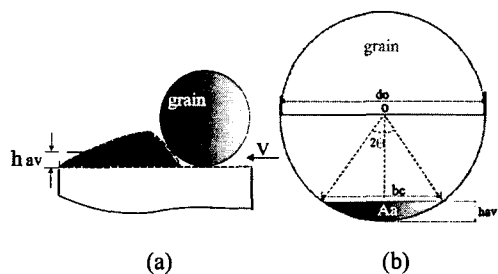


Fig. 4 Schematic of (a) undeformed chip thickness side section view, (b) section view of abrasive grain in grinding direction.

연삭숫돌과 공작물의 접촉면적($l_c \times b$) 사이에 존재하는 개개의 연삭입자들이 실제 연삭하고 있는 단면적은 각각 다르지만, Fig. 4(b)에 나타낸 바와 같이 모든 연삭입자들이

평균미변형침두께(h_{av})를 연삭하고 있는 경우로 가정하여 평균연삭단면적(A_a)을 구하였다.

Fig. 4(b)에서 연삭입자의 평균미변형침두께(h_{av})는 식(2)과 같이 나타낼 수 있으며, 실제 절삭작용을 하는 연삭입자의 폭 b_c 는 식(3)과 같이 나타낼 수 있다.

$$h_{av} = \frac{d_o - \sqrt{d_o^2 - b_c^2}}{2} \quad (2)$$

$$b_c = 2\sqrt{d_o h_{av} - h_{av}^2} \quad (3)$$

여기서, d_o 는 연삭입자의 직경이다.

Θ 는 연삭수들이나 공작물의 종류와는 무관하며 수들의 기하학적조건 및 작동조건만으로 정해지는 무차원 값이다.

$$\Theta = \sin^{-1}\left(\frac{b_c}{d_o}\right) \quad (\text{radian}) \quad (4)$$

단일 연삭입자의 평균연삭단면적, A_a 는 기하학적 관계에 의하여 식(5)과 같이 나타낼 수 있다.

$$A_a = \frac{2\Theta}{2\pi} \pi \left(\frac{d_o}{2}\right)^2 - \frac{1}{2} b_c \left(\frac{d_o}{2} - h_{av}\right) \\ = \frac{1}{2} \left[\frac{\Theta d_o^2}{2} - b_c \left(\frac{d_o}{2} - h_{av}\right) \right] \quad (5)$$

2.3 평균입자 비연삭에너지

본 연구에서는 연삭특성 평가를 위해 실제 연삭입자들은 불규칙한 다면체 형상을 나타내고 있지만, Fig. 1에 나타낸 바와 같이 구의 형상으로 가정하여

평균미변형침두께(h_{av})에 근거한 평균입자 연삭모델을 설정하고 이에 의한 평균입자 비연삭에너지, e_a (average grain specific grinding energy)를 정의하였다.

Fig. 5는 연삭수들과 공작물의 접촉면적을 3차원적으로 나타낸 것이다. 평면하향연삭 시 연삭수들과 공작물의 접촉길이는 l_c 이며, 공작물의 폭(b)이 연삭수들 폭 보다 작으면, 연삭수들과 공작물의 접촉면적은, $l_c \times b$ 가 된다. 접촉면적 상의 ' v ' 표시는 개개의 연삭입자들을 나타낸 것이다.

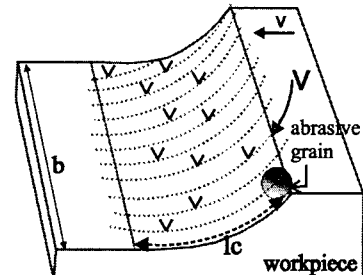


Fig. 5 Schematic 3-D view of down-surface grinding.

평균입자모델에서 단위면적당 존재하는 연삭입자의 개수(n)는 식(6)과 같이 구할수 있고 연삭입자의 개수를 연삭수들과 공작물의 접촉면적($l_c \times b$)에 의해 구하면, 연삭가공시 실제 접촉면적상의 전체 연삭입자의 개수, n_a 는 식(7)과 같이 나타낼 수 있다.

$$n = Ag / 100\pi r'^2 \quad (6)$$

$$n_a = \frac{Ag \times l_c \times b}{100 \pi r'^2} \quad (7)$$

따라서, 본 연구에서는 앞서 도입한 평균입자미변형침 모델을 이용하여 평균입자 비연삭에너지, e_a 를 다음과 같이 정의하였다.

$$e_a = \frac{\overline{F}_t}{n_a A_a} \quad (8)$$

3. 연삭실험

연삭실험에 사용한 연삭수들은 WA계 연삭수들로서 결합도(K), 조직(7), 결합제(V), 입도는 46, 60 및 80 세가지 를 사용하였고 직경 305mm, 폭 38mm 이었다.

연삭방식은 하향연삭방식으로 평면연삭기에서 가공하였으며, 매 실험마다 2μm로 드레싱을 하였다.

Table. 1은 연삭실험조건을 나타낸 것으로 3가지 입도의 연삭수들로 각각 32가지 조건에 대해 연삭실험을 행하였

다. Table. 2는 연삭실험에 사용된 공작물의 구성성분을 나타낸 것이며, 경화열처리 유무에 따른 SM45C강 공작물의 로크웰 C스케일(HRC) 경도를 나타낸 것이다.

Table. 1 Grinding experimental conditions

Wheel speed(rpm)	1750
Radial depth of cut(μm)	10, 20, 30, 40
Grinding velocity(m/min)	5, 10, 15, 20
Grinding wheel	WA46K7V (305×38×127) WA60K7V (305×38×127) WA80K7V (305×38×127)
Heat treatment	O, X
Grinding Fluid	None
Depth of dressing(mm)	0.02

Table 2 . Chemical composition(wt%) and hardness of SM45C

		SM45C
C		0.427
Si		0.213
Mn		0.679
P		0.011
S		0.010
Ni		0.052
Cr		0.120
Fe		Bal.
Hardness (HRC)	Heat treated	59
	Non-heat treated	4

Fig. 6은 연삭실험의 개략도를 나타낸 것으로 연삭력 성분을 구하기 위해서 공구 동력계(Kistler, 9273)로부터 측정된 연삭력 신호를 전하증폭기(Kistler, 5807A)를 통해

증폭시키고, A/D변환기(Data translation, DT3831-G)를 거쳐 PC에서 신호분석 기능을 갖고 있는 소프트웨어패키지(Global Lab)을 사용하여 분석하였다.

연삭실험시 공작기계의 주축회전속도는 1750 rpm 이었으며, 연삭력 성분은 샘플링 주파수 125,000Hz로 획득되었다. 따라서, 샘플링 시간간격은 0.008ms이었다.

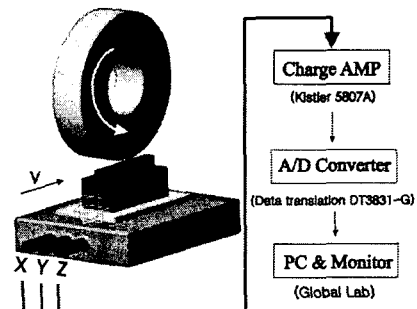


Fig. 6 Schematic diagram for surface grinding force measurement.

4. 실험결과 및 고찰

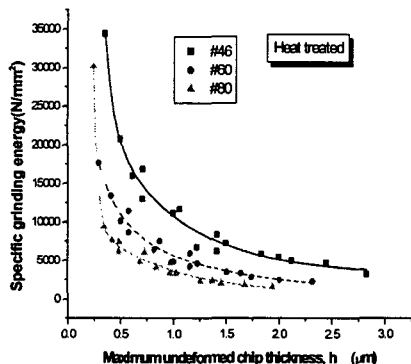
4.2 비연삭에너지

비연삭에너지는 연삭동력을 단위시간당 연삭제거량으로 나눈값으로 연삭성능을 평가하는 기준으로 사용되고 있다. Fig. 7은 각 실험 조건하에서의 연삭되어지는 최대미변형 침두께(h_{max})에 따른 평균입자 비연삭에너지, e_a 를 나타낸 것이다.

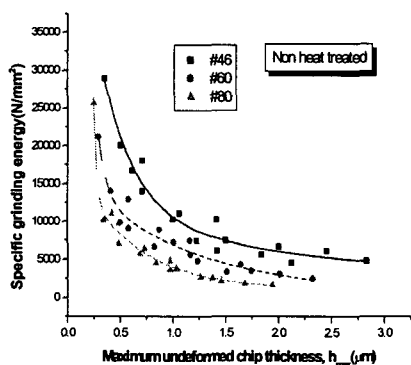
Fig. 7에서와 같이 연삭입자의 최대미변형침두께가 증가 할수록 비연삭에너지가 감소하고 있다. 이는 연삭가공에서의 치수효과⁽⁴⁾를 나타내는 것으로 판단된다. 한편 최대미변형침두께가 동일한 경우 연삭입자가 클수록 비연삭에너지가 커지는 경향을 나타내고 있으며, 이는 입도가 다른 연삭입자에 의해 동일한 최대미변형침두께가 연삭될 때 연삭입자가

클수록 연삭날의 예리성이 상대적으로 떨어지기 때문으로 판단된다.

연삭입자의 최대미변형침두께, h_{max} 가 커질수록 평균입자비연삭에너지 e_a 는 감소한다. 입도가 다른 입자에 의해 주어지는 최대미변형침두께, h_{max} 가 같을 때 연삭입자가 클수록 e_a 값이 커진다



(a)



(b)

Fig. 7 Specific grinding energy, e_a vs. maximum undeformed chip thickness.

참 고 문 헌

- (1) K. Sato, 1955, "On the Surface Roughness in Grinding," Technol. Reports of the Tohoku University, 20, pp. 59~70.
- (2) H.J. Kim, I.H. Heo, S.D. Woo, and Y.M. Lee, 1999, "Effects of Maximum Grit Depth of Cut on Grinding Characteristics", Trans. of KSMTE, Vol. 8, No. 5, pp.63~69.
- (3) S. Malkin, 1989, Grinding Technology - Theory and Application of Machining with Abrasives, John Wiley & Sons, pp. 55~59
- (4) W. R. Brecker, M. C. Shaw, 1952, "The Size Effect in Metal Cutting," Trans. ASME, Vol. 74, pp. 61~72.

5. 결 론

본 연구는 앞서 제시된 평균입자연삭모델을 이용하여, 입자 크기에 따른 SM45C강에 대한 비연삭에너지의 특성을 얻을 수 있었다.